

메틸메타크릴레이트와 디에탄올아민과의 에스테르 교환반응에 관한 연구

孫秉清 · 朴根浩 · 鄭舜旭 · 南基大*

홍익대학교 화학공학과

*충북대학교 화학공학과

A Study on the Transesterification Reaction Between Methyl Methacrylate and Diethanolamine

Sohn, Byoung-Chung · Park, Keun-Ho ·
Jeong, Soon-Wook · Nam, Ki-Dae*

Dept. of Chemical Engineering, Hong Ik University

* Dept. of Chemical Engineering, Chung Buk National University

(Received Aug. 25, 1986)

ABSTRACT

The transesterification reaction between diethanolamine and methyl-methacrylate was kinetically investigated in the presence of various metal acetate catalysts at 120°C.

The quantity of methylmethacrylate reacted in the reaction flask was measured by gas chromatography and liquid chromatography, and the reaction rate was investigated by measuring of the quantity of products and reactants under various catalysts. The transesterification reaction was carried out in the first order reaction kinetics with respect to the concentration of diethanolamine and methylmethacrylate, respectively.

The apparent rate constant was found to obey first-order kinetics with respect to the concentration of catalyst. The linear relationship was shown between apparent rate constant and reciprocal absolute temperature, and by the Arrhenius plot, the activation energy has been calculated as 11.08 Kcal with zinc acetate catalyst, 17.99 Kcal without catalyst.

The maximum reaction rate was appeared at the range of 1.4 to 1.6 of electronegativity of metal ions and instability constant of metal acetates.

I. 서 론

에스테르 교환반응은 향장품공업과 섬유공업에서 유화제, 분산제 및 습윤제로 사용되는 유기물질의 합성에 이용되며^{1~5}, 요즘 연구의 대상이 되는 전도성 고분자 물질의 monomer 합성에 이용되고 있다^{6~7}.

본 연구는 Diethanolamine (DEA) 과 methylmethacrylate (MMA) 와의 에스테르 교환반응을 여러 가지 반응 조건에 대하여 그의 반응성을 조사하였다. 이를 반응은 촉매 종류에 따라 반응성이 현저한 차이를 나타내고 있으므로 이를 촉매 능력을 측정 비교함으로서 촉매 효과를 검토하였으며, 반응온도에 따른 반응성 및 반응기구도 검토하였다.

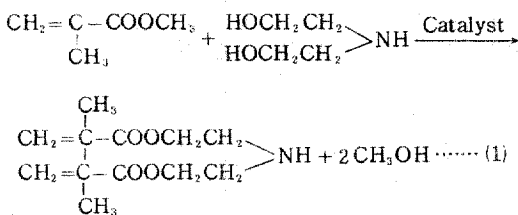
II. 재료 및 실험방법

1. 시약

본 실험에 사용한 시약인 diethanolamine과 methylmethacrylate는 Shinyo pure chemicals co., Ltd.에서 제조한 1급 시약을 그대로 사용하였으며, 아세트산 금속염 촉매도 1급 시약을 그대로 사용하였다.

2. 관계이론

Diethanolamine(DEA)과 methylmethacrylate(MMA) 간의 에스테르 교환 반응의 결과는 다음과 같아 예상된다.



이 반응에 대한 MMA의 감소속도는

$$-\dot{C}_A = -\frac{dC_A}{dt} = k C_A C_D C_K = k' C_A C_D \dots\dots (2)$$

가 된다. 촉매농도(C_K)는 반응 중 일정하므로 $kC_K = k'$ 으로 쓸 수 있다.

전체 반응물의 밀도가 일정하다고 하면 시간 변화에 따른 각 물질의 농도를 식(2)에 대입하고 적분하면 다음과 같다.

$$k't = \frac{1}{C_{D0} - 2C_{A0}} \ln \frac{1 - 2 \cdot \frac{C_{A0}}{C_{D0}} \cdot X_A}{1 - X_A} = Y \dots\dots (3)$$

식(3)에 MMA의 전화율 X_A 를 대입하여 우변항 Y 를 계산하고 이를 반응시간 t 에 대하여 plot하면 graph는 직선을 나타낼 것이며, 이 직선의 기울기로 부터 결보기 반응속도상수 k' 를 구하고 이로부터 반응속도상수 k 를 구한다.

3. 실험방법

250ml 반응기에 DEA 0.485 mol(51.0g)을 넣은 후 아세트산 금속염 촉매를 완전히 용해시킨 다음 MMA 0.469 mol(47.0g)을 가하여 진탕하고 120

°C로 가열된 glycerol 중탕 속에 넣었다. 그 후 20분 간격으로 반응물을 0.5ml 씩 syringe로 채취하여 n-propanol에 2.5ml가 되도록 회석하였으며, 이 용액 1.0 μ l를 취하여 gas chromatography로 n-propanol에 대한 MMA의 면적비를 구하여 반응시간에 따른 MMA의 농도변화를 구하였다. 이를 위하여 가지의 n-propanol에 대한 MMA의 molar ratio에 대하여 gas chromatography로 분석하고 그 면적을 측정하여 area ratio를 구하여 반응시간에 따른 MMA의 전화율을 측정하였다.

또한 반응시 반응온도를 일정하게 유지시키기 위하여 glycerol 중탕에 온도조절감도가 ±0.5 °C인 자동온도 조절기를 부착하였다. 그리고 반응물을 분석, 확인하기 위하여 사용한 기기는 Yanaco Co.에서 제작한 gas chromatography G-1800이며, 분석에 사용된 운반기체는 Nitrogen, 검출기는 FID, column 충전물은 chromosorb WAW+Porapak Q와 silicone oy-17을 사용하였다. 또한 Waters Co.에서 제작한 ALC/GPC 204 liquid chromatography로 column은 μ Bondapak C₁₈을 사용하여 분석 확인하였다.

III. 결과 및 고찰

1. 촉매량 변화에 따른 반응속도

촉매량의 변화에 따른 반응속도의 변화를 알아보기 위하여 $\text{Cu}(\text{CH}_3\text{COO})_2 \cdot 4\text{H}_2\text{O}$, $\text{Cd}(\text{CH}_3\text{COO})_2 \cdot 2\text{H}_2\text{O}$, $\text{Pb}(\text{CH}_3\text{COO})_2 \cdot 3\text{H}_2\text{O}$, $\text{Mn}(\text{CH}_3\text{COO})_2 \cdot 4\text{H}_2\text{O}$, $\text{Zn}(\text{CH}_3\text{COO})_2 \cdot 2\text{H}_2\text{O}$, $\text{Mg}(\text{CH}_3\text{COO})_2 \cdot 4\text{H}_2\text{O}$, $\text{Co}(\text{CH}_3\text{COO})_2 \cdot 4\text{H}_2\text{O}$ 의 촉매량을 변화시켜 가면서 반응속도를 측정하였다. 반응물인 MMA의 전화율 X_A 를 반응시간 t 에 대하여 plot하였으며, 그 결과를 Fig. 1에 나타내었다.

Fig. 1에서 보는 바와 같이 100분간 반응시켰을 때 $\text{Pb}(\text{CH}_3\text{COO})_2 \cdot 3\text{H}_2\text{O}$ 촉매 하에서는 촉매량이 1.0×10^{-5} mole에서 2.0×10^{-5} mole로 2배 증가하면 전화율이 36.0%에서 39.4%로 3.4%가 증가하였다. 또 촉매량이 1.0×10^{-5} mole에서 8.0×10^{-5} mole로 8배 증가하면 전화율은 36.0%에서 42.5%로 6.5%가 증가하였다.

따라서 촉매량이 증가하면 반응속도는 빨라진다. Fig. 1의 전화율 X_A 를 식(3)에 대입하여 초기 DEA 농도 C_{D0} , 초기 MMA 농도 C_{A0} 하에서 식(3)의 우변항 Y 값을 계산하여 이 값을 반응시간 t 에 대하여 plot하여 Fig. 2에 나타내었다.

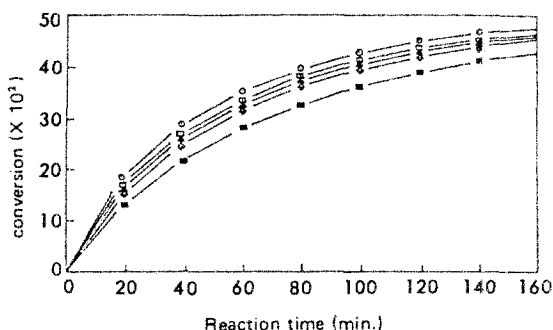


Fig. 1 Time-conversion curves of the transesterification reaction of DEA and MMA with lead acetate as a catalyst (DEA 0.485 mole, MMA 0.469 mole, reaction temperature 120°C).

Amount of added lead acetate (moles).
 ○; 8.0×10^{-5} □; 6.0×10^{-5} ▲; 4.0×10^{-5}
 ♦; 2.0×10^{-5} ■; 1.0×10^{-5}

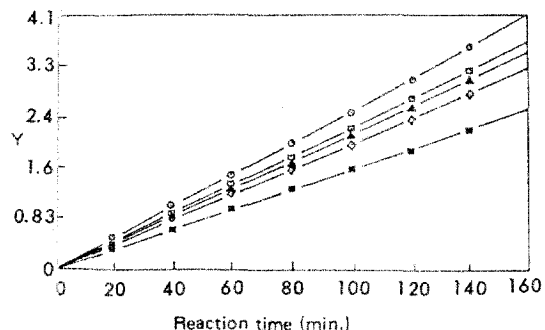


Fig. 2 Relationship between Y and reaction time on the transesterification reaction of DEA and MMA with lead acetate as a catalyst. (DEA 0.485 mole, MMA 0.469 mole, reaction temperature 120°C).

Amount of added lead acetate (moles).
 ○; 8.0×10^{-5} □; 6.0×10^{-5} ▲; 4.0×10^{-5}
 ♦; 2.0×10^{-5} ■; 1.0×10^{-5}

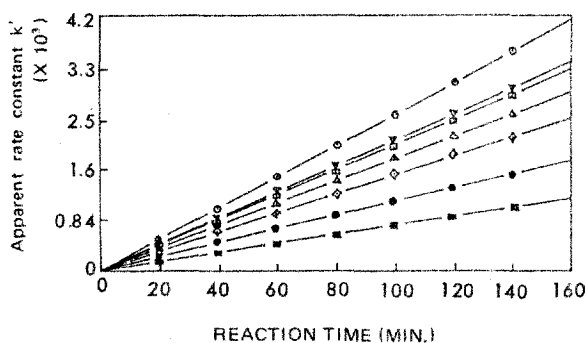


Fig. 3 Relationship between Y and reaction time on the transesterification reaction of DEA and MMA with various metal acetate as catalysts (DEA 0.485 mole, MMA 0.469 mole, catalyst 8.0×10^{-5} mole, reaction temperature 120°C).

Added metal acetates
 ○; Pb(CH₃COO)₂ · 3H₂O □; Zn(CH₃COO)₂ · 2H₂O ♦; Cd(CH₃COO)₂ · 2H₂O
 ▲; Mg(CH₃COO)₂ · 4H₂O ●; Co(CH₃COO)₂ · 4H₂O ■; Cu(CH₃COO)₂ · 4H₂O

Fig. 2에서 보는바와 같이 직선을 나타내고 있음은 이론부분에서 가정했던 바와 같이 DEA와 MMA의 물비가 1.03일때 DEA의 농도와 MMA의 농도에 대하여 각각 1차반응이며, 총괄차수는 2차반

Table 1. Apparent rate constant k'

Catalysts	k' (ml. mole ⁻¹ · min. ⁻¹) $\times 10^3$
Pb(CH ₃ COO) ₂ · 3H ₂ O	25.88
Zn(CH ₃ COO) ₂ · 2H ₂ O	21.05
Mg(CH ₃ COO) ₂ · 4H ₂ O	18.64
Mn(CH ₃ COO) ₂ · 4H ₂ O	21.75
Cd(CH ₃ COO) ₂ · 2H ₂ O	15.82
Co(CH ₃ COO) ₂ · 4H ₂ O	11.47
Cu(CH ₃ COO) ₂ · 4H ₂ O	8.80

응임을 알 수 있었다.

또한 여러가지 아세트산 금속염 촉매의 활성에 대하여 알아 보기 위하여 각각의 촉매농도 (8.0×10^{-5} mole)가 일정한 경우를 식(3)의 우변항의 Y계산값과 반응시간 t에 대하여 plot 한 것이 Fig. 3이다.

Fig. 3의 직선의 기울기로 부터 결보기 반응속도상수 k' 를 구하였으며 이를 Table 1에 표시하였다.

또한 이들 직선의 기울기를 촉매의 몰수(N_K)에 대하여 plot 한 결과를 Fig. 4에 나타내었다.

Fig. 4에서 보는바와 같이 촉매 몰수에 대하여 결보기 반응속도상수 k' 은 직선적으로 변하고 있으므로 1차적인 관계가 성립함을 알 수 있다. 이 직선으로 부터 반응속도상수 k' 를 구하였으며 그 결과를 Table 2에 나타내었다.

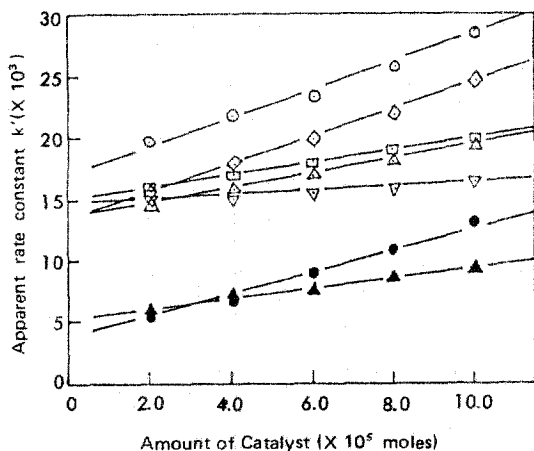


Fig. 4 Relationship between K' and catalyst moles (DEA 0.485 mole, MMA 0.469 mole, reaction temperature 120°C).

Added metal acetates

- : $\text{Pb}(\text{CH}_3\text{COO})_2 \cdot 3\text{H}_2\text{O}$
- : $\text{Mn}(\text{CH}_3\text{COO})_2 \cdot 4\text{H}_2\text{O}$
- : $\text{Zn}(\text{CH}_3\text{COO})_2 \cdot 2\text{H}_2\text{O}$
- △: $\text{Mg}(\text{CH}_3\text{COO})_2 \cdot 4\text{H}_2\text{O}$
- ▲: $\text{Cd}(\text{CH}_3\text{COO})_2 \cdot 2\text{H}_2\text{O}$
- : $\text{Co}(\text{CH}_3\text{COO})_2 \cdot 4\text{H}_2\text{O}$
- : $\text{Cu}(\text{CH}_3\text{COO})_2 \cdot 4\text{H}_2\text{O}$

2. 반응온도 변화에 따른 반응속도

반응온도의 변화에 따른 반응속도를 알기 위하여 DEA 0.485 mole (51.0 g)과 MMA 0.469 mole (47.0 g)을 사용한 반응물을 무촉매 하에서 촉매로 아세트산 아연 8.0×10^{-5} mole 을 첨가하였을 경우의 반응을 각각 100°C, 110°C, 120°C, 130°C, 140°C의 온도 하에서 반응시켜 전화율 X_A 를 구하여 식(3)의 우변항에 대입하여 Y 값을 계산하여 반응시간 t 에 대하여 plot 한 것이 Fig. 5, 6이다.

Fig. 5에서 보는 바와 같이 무촉매일 경우 반응온도가 100°C에서 110°C로 증가시킬 때 반응시간 100분에서 Y 값은 0.351에서 0.715로 2.04 배가 증가하였으며 110°C에서 120°C로 증가시키면 Y 값이 0.715에서 1.189로 1.66 배가 증가하였다.

또한 Fig. 6에서 보는 바와 같이 촉매를 사용하였을 경우에도 100°C에서 110°C로 반응온도가 증가하면 반응시간 100분에서 Y 값이 0.75에서 1.23으로 1.64 배가 증가하였으며, 반응온도가 110°C에서 120°C로 증가시켰을 경우에도 Y 값은 1.23에서 2.11로 1.72 배가 증가하였다. 따라서 반응온도가 증가하면 반응속도가 빨라짐을 알 수 있었다.

Fig. 5, 6에서 보는 바와 같이 반응속도는 조성이

Table 2. Rate contant k

Catalysts	$k'(\text{ml. mole}^{-1} \cdot \text{min.}^{-1})$
$\text{Pb}(\text{CH}_3\text{COO})_2 \cdot 3\text{H}_2\text{O}$	115.36
$\text{Zn}(\text{CH}_3\text{COO})_2 \cdot 2\text{H}_2\text{O}$	47.74
$\text{Mg}(\text{CH}_3\text{COO})_2 \cdot 4\text{H}_2\text{O}$	57.83
$\text{Mn}(\text{CH}_3\text{COO})_2 \cdot 4\text{H}_2\text{O}$	114.52
$\text{Cd}(\text{CH}_3\text{COO})_2 \cdot 2\text{H}_2\text{O}$	14.26
$\text{Co}(\text{CH}_3\text{COO})_2 \cdot 4\text{H}_2\text{O}$	87.68
$\text{Cu}(\text{CH}_3\text{COO})_2 \cdot 4\text{H}_2\text{O}$	41.72

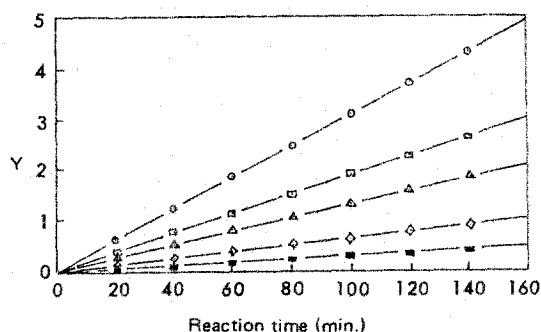


Fig. 5 Relationship between Y and reaction time on the transesterification reaction of DEA and MMA (DEA 0.485 mole, MMA 0.469 mole, noncatalyst)

Reaction temperature

O: 140°C □: 130°C △: 120°C ♦: 110°C ■: 100°C

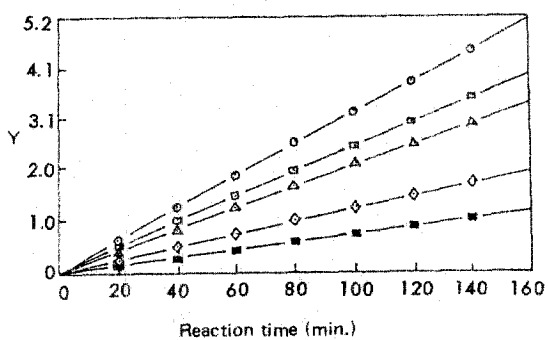


Fig. 6 Relationship between Y and reaction time on the transesterification of DEA and MMA with zinc acetate as a catalyst (DEA 0.485 mole, MMA 0.469 mole, zinc acetate 8.0×10^{-5} mole).

Reaction temperature

O: 140°C □: 130°C △: 120°C ♦: 110°C ■: 100°C

Table 3. Rate constant k

Temperature °C	Noncatalyst ($\times 10^3$) k (ml. mole ⁻¹ . min. ⁻¹)	Zinc acetate ($\times 10^3$) k' (ml. mole ⁻¹ . min. ⁻¹)
100	2.80	31.96
110	6.45	24.68
120	12.96	21.05
130	18.82	12.33
140	30.55	7.48

일정한 경우에는 반응온도항에 의존하므로 Y 값에 대한 반응시간 t의 관계로부터 각 반응온도에서의 반응속도상수를 계산하여 Table 3에 표시하였다.

무촉매와 아세트산 약연 촉매 하에서 DEA와 MMA 간의 에스테르 교환반응에 대한 반응속도의 온도의 존성을 알아 보기 위하여 반응속도상수와 반응온도간의 관계를 Fig. 7에 나타내었다.

Fig. 7에서 보는 바와 같이 반응온도에 따라 직선적으로 변하고 있으므로 Arrhenius식이 적용됨을 알 수 있으며, 이를 직선의 기울기로 부터 활성화에너지 구하여 Table 4에 나타내었다.

Table 4에서 보면 무촉매 하에서 보다 촉매 존재 하에서 활성화에너지가 적으므로 촉매를 사용하였을 때의 반응성이 매우 큼을 알 수 있다. 또한 DEA와 dimethylphthalate 와의 에스테르 교환반응⁸⁾ 비교하면 무촉매 하에서의 활성화에너지 12.30 Kcal/mole 보다 약 5.69 Kcal/mole이 크므로 MMA와 DEA의 반응성은 DMP와 DEA 보다 떨어짐을 알 수 있었다. 그리고 MEA와 MMA의 에스테르 교환반응⁹⁾과 비교하면 무촉매일 때 약 3.79 Kcal/mole 만큼 크다. 이는 DEA가 MEA보다 pK_A 가 적으므로 반응성이 떨어진다는 것과 일치함을 보여 준 것이다.

3. 반응속도 상수와 전기음성도 및 불안정도 상수와의 관계

DEA와 MMA 간의 에스테르 교환반응은 촉매로 사용한 금속 이온의 전기음성도가 반응속도상수와 밀접한 관계가^{10~11)} 있어 그 관계를 Fig. 8에 나타내었다.

Fig. 8에서 보는 바와 같이 결보기 반응속도상수와 전기음성도와의 관계는 일반적인 산형을 이룬다. 이것은 monoethanolamine과 methylmethacrylate 와의 에스테르 교환반응 등^{8~9)}에서와 같이 촉매활성이 14~1.6 정도일 때 가장 큼을 알 수 있다.

Table 4. Activation energy

Activation energy	
Noncatalyst	17.99 Kcal/mole
Zinc acetate	11.08 Kcal/mole

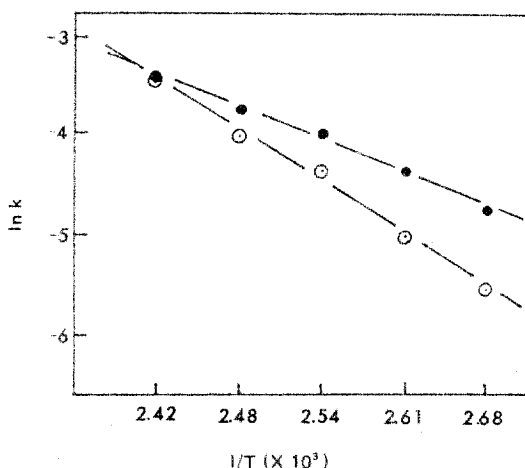


Fig. 7 Relationship between rate constant and reciprocal absolute temperature on the transesterification reaction between DEA and MMA (DEA 0.485 mole MMA 0.469 mole).

○; Noncatalyst ●; Zinc acetate

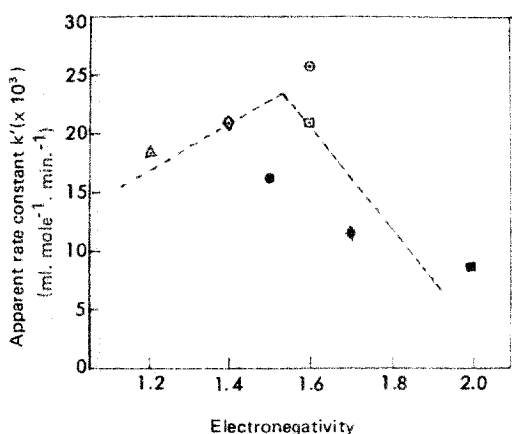


Fig. 8 Relationship between apparent rate constant k' and electronegativity of cation of catalysts

○; Pb⁺⁺ □; Zn⁺⁺ ▲; Mg⁺⁺ ◆; Mn⁺⁺
●; Cd⁺⁺ ♦; Co⁺⁺ ■; Cu⁺⁺

따라서 이는 금속 양이온이 반응을 촉진시킨다고 보는 유리이온기구를 고려하면 전기음성도가 낮은 금속이온이 큰 활성을 나타내어야 할 것인데, 그 반대되는 경향을 나타내고 있어 측매 역할을 하는 것이 금속양이온으로만 생각하는 것은 합당하지 못함을 알 수 있다. 그러므로 배위결합의 철단용이성과 함께 배위형성 용이성의 척도로서 사용되는 중심 금속이온의 전자친화력^{12~14)}과 정량적인 고찰을 위하여 배위결합의 안정성 또는 반응성에 관한 입체장애를 고려한 결합론에 의거해야 할 필요가 있다.

Misono 등은^{15~16)} 착체의 안정도를 정량적으로 표현하는 2원 parameter 중심금속에 대하여 α 배위력을 나타내는 X_i , 역공여 P_i , 결합능력을 나타내는 Y_i , 배위자에 대하여는 α_j , β_j 를 제안하였다.

어떤 착체의 분안정도상수 K_{ijg} 는

$$pk_{ij} = \log K_{ijg} = \alpha_j X_i + \beta_j Y_i + \gamma_j \quad \dots\dots\dots(4)$$

가 된다. 이로부터 아세트산 금속염의 불안정도상수를 계산하여 결보기 반응속도상수와의 관계를 Fig. 9에 plot 하였다.

Fig. 9에서 보는바와 같이 결보기 반응속도상수와 불안정도상수가 monoethanolamine과 methylmethacrylate 등의^{8~9, 17~18)} 에스테르 교환반응에서와 같이 1.4~1.6 정도에서 측매활성이 가장 큼을 볼 수 있다.

이와 같은 현상은 아세트산 금속염이 반응액 중에서 반응물과 새로운 착체를 형성하고 이 착체가 에스테르 교환반응에 활성화 물질로 거동하는 것으로 생각되어 진다. 그러나 불안정도상수가 증가하면 금속착체 자체가 점점 안정하게 되므로서 측매활성이 감소되어 무측매일 경우와 같이 DEA의 강염기에 의해 반응이 진행되는 것으로 추정된다.

따라서 결보기 반응속도상수와 전기음성도 및 불안정도상수와의 관계를 고려하면 측매활성이 각각 1.4~1.6 정도에서 측매활성이 가장 큼을 알 수 있다.

이로보아 반응기구로서는 유리이온기구 보다는 배위결합기구를 고려하는 것이 타당하다고 사료되어 진다.

IV. 결 론

Diethanolamine과 methylmethacrylate 간의 에스테르 교환반응을 시킨 결과 다음과 같은 결론

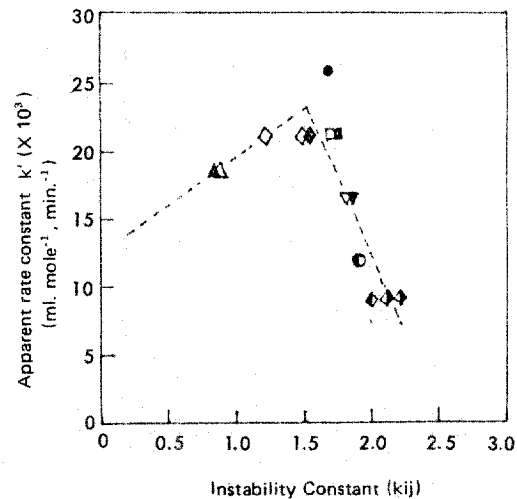


Fig. 9 Relationship between apparent rate constant k' and instability constant (k_{ij}).

● : $Pb(CH_3COO)_2 \cdot 3H_2O$ ▽ : $Cd(CH_3COO)_2 \cdot 2H_2O$
 □ : $Zn(CH_3COO)_2 \cdot 2H_2O$ ◉ : $Co(CH_3COO)_2 \cdot 4H_2O$
 △ : $Mg(CH_3COO)_2 \cdot 4H_2O$ ♦ : $Cu(CH_3COO)_2 \cdot 4H_2O$
 ◇ : $Mn(CH_3COO)_2 \cdot 4H_2O$

을 얻었다.

1. DEA와 MMA간의 에스테르 교환반응에서 DEA농도와 MMA 농도에 각각 1차반응이고 총괄차수는 2차반응이었다.

2. 결보기 반응속도상수(k')는 측매농도에 대하여 1차였다.

3. 무측매 하에서 활성화에너지는 17.99 Kcal 였으며, 아세트산 아연 측매일 경우는 11.08 Kcal 였다.

4. 금속 이온의 전기음성도와 아세트산 염의 불안정도상수(K_{ijg})가 각각 1.4~1.6 정도일 때 측매활성이 가장 큼을 알 수 있었다.

5. 반응기구는 무측매일 경우 DEA 강염기에 의한 반응이며, 측매 사용시는 유리이온기구 보다 착체의 배위자 교환에 의한 배위결합기구로 추정된다.

NOMENCLATURE

C_A : t 시간 후의 MMA 농도($mole \cdot ml^{-1}$)

C_D : t 시간 후의 DEA 농도($mole \cdot ml^{-1}$)

K : 반응속도상수($ml^2 \cdot mole^{-2} \cdot min^{-1}$, $ml \cdot mole^{-1} \cdot min^{-1}$)

C_{A_0} : MMA 의 초기농도(mole · ml⁻¹) C_{D_0} : DEA 의 초기농도 (mole · ml⁻¹)

$$Y = \frac{1}{C_{D_0} - 2 \cdot C_{A_0}} \ln \frac{1 - 2 \cdot \frac{C_{A_0}}{C_{D_0}} \cdot X_D}{1 - X_A}$$

문
현

1. Lemieux, R. U. and McInnes A. G. : *Can. J. chem.*, 40, 2376(1962).
2. Tadeusz, K. and Wieslaw, S. : *Polska Pat.*, 86552(1976). to Politechnika Slaska.
3. Kenneth, J. : *Brit Patent*, 1499989(1978).
4. 奥田治, 西郷宗之助, 齊藤修二, 竹中英雄 : 最新香粧品化學, 廣川書店, 東京, p. 248(1967).
5. 小田良平, 寺村一廣 : 界面活性剤の會成と其應用, 横書店, 東京, p. 292(1975).
6. Ikeuchi, H., Ito, Y., Suganuma, H. and Yoshida, T. : *Japan Kokai Pat.*, 7853637(1978). to Toray Ind. Inc.
7. Kuno, M., Konishi, T. and Okumura, N. : *Japan Kokai Pat.*, 7854292(1978). to Teijin Ltd.

8. Park, K. H. : *J. Korea Oil Chem. Soc.*, 2(2), 25(1985).
9. Park, K. H.; Sohn, B. C. and Ryu, C. M. : *J. Korea Oil Chem. Soc.*, 2(2), 31(1985).
10. Gordy, W. and Thomas, W. J. O. : *J. Chem. Phys.*, 24(2), 439(1956).
11. Kubo, S., Suzuki, K. and Ishizuka, O. : *Ind. Chem. Japan*, 73, 195(1970).
12. 安積宏 : 量子化學, 改訂版, 培風館, 東京, p. 69, 711(1960).
13. 日本化學會編 : 化學便覽基礎編II, 改訂2版, 丸善株式會社, 東京, p. 1273(1975).
14. Sangen, O. and Yamamoto, Y. : *J. Japan. Chem. Soc.*, 5, 753(1978).
15. 小田良平, 牧島象二, 井本稔, 坂井渡, 岩倉義男 : 近代工業化學, vol. 8, 朝倉書店, 東京, p. 104(1971).
16. Misra, M., Ochiai, E. and Yoneda, Y. : *Inorg Nucl Chem.*, 29, 2685(1967).
17. Sohn, B. C. and Kim, C. I. : *M.S. Dissertation*, Hongik Univ., Seoul, Korea(1986).
18. Sohn, B. C. and Jeong, S. W. : *Hong Dai Non Chong*, 17, 129(1985).